



## تعیین محدوده‌ی فرکانس تشدید ساختمان‌ها

### در زلزله‌های گلباف و سیرج

مهم‌دروضا خسروی مشیزی

mrkh56@yahoo.com - واحد بردسیر - دانشگاه آزاد اسلامی

#### هکیده

نظر به اهمیت پدیده‌ی تشدید در ساختمان و با توجه به مشاهده‌ی مواردی چند از این پدیده در سراسر ایران و جهان و با توجه به عدم بررسی این پدیده‌ی مخرب در استان کرمان، در این مقاله با استفاده از ۲۳ رکورد زلزله‌ی رخ داده ما بین سال‌های ۱۹۸۱ تا ۲۰۰۰ میلادی در مناطق گلباف و سیرج، محدوده‌ی فرکانس تشدید تعیین و با توجه به یکسان بودن خصوصیات لایه‌های زمین در کل پهنه‌ی استان کرمان نتایج آن به کل استان تعمیم داده شد.

پس از تهیه‌ی شتاب‌نگاشت‌های مناطق مذکور برنامه‌ای برای محاسبه‌ی چگالی طیفی توان و معادل آن براساس مدل کانایی-تاجیمی به زبان فرترن نوشته و صحت عملکرد آن از طریق مقایسه با منحنی‌های چگالی طیفی توان موجود در سایر تحقیقات کنترل گردید. برنامه، رکوردها را به ترتیب خوانده و با فرض خطی بودن شتاب بین دو نقطه‌ی مجاور شتاب‌نگاشت و حل مستقیم معادلات حرکت، ابتدا انرژی و توان کل زلزله در پایان مدت تداوم حرکت در هر فرکانس ما بین صفر تا ۲۵ هرتز و در نهایت مدل صاف شده‌ی چگالی طیفی توان را محاسبه و ارائه کرد. از بین کل شتاب‌نگاشت‌ها ۱۸ رکورد مربوط به گلباف و پنج رکورد مربوط به سیرج و همگی دارای شتاب حداکثری بیش از ۰/۵g بودند. با به دست آوردن پارامترهای فرکانس مرکزی و ضریب شکل، محدوده‌ی فرکانس تشدید در همه‌ی زلزله‌ها مشخص شد. پس از میانگین‌گیری این محدوده بین ۳/۴۳ الی ۸/۷۶ هرتز به دست آمد. با تعمیم نتیجه‌ی حاصل از زلزله‌های گلباف و سیرج به کل استان می‌توان اظهار نمود، ساختمان‌هایی که فرکانس اصلی آن‌ها در بازه‌ی ۳/۴۳ و ۸/۷۶ هرتز قرار می‌گیرند با خطر ایجاد تشدید زلزله مواجه هستند. بنابراین باید حین طراحی سازه با تغییر دادن جرم یا سختی ساختمان فرکانس اصلی ساختمان را از محدوده‌ی مذکور خارج کرد.

واژه‌های کلیدی: چگالی طیفی توان، ضریب شکل، فرکانس تشدید، فرکانس مرکزی، کانایی-تاجیمی

## Determination of the resonance frequency range of buildings in Golbaf and Sirch earthquakes

M. R. Khosravi Mashizi

Department of Geology, Islamic Azad University, Bardsir Branch, Bardsir, I. R. Iran

## Abstract

Considering the importance of the resonance phenomenon in buildings and the numbers in the world of this phenomenon and the fact that this phenomenon isn't considered yet in Kerman province, in this paper the earthquake resonance frequency range is calculated for the regions of Golbaf and Sirch, located in Kerman province, using 23 records of earthquakes that happened between 1981 and 2000. The results have been generalized for the whole province.

After providing above accelerograms, a program has been written for the calculating power spectra and its smoothed curve, based on Canai-Tajimi model and its correctness checked by comparing available power spectra. The program read records respectively, and at first it calculated and exhibited total energy and power of earthquake at the end of ground motion in any frequency between zero and 25 hertz, and finally exhibited smoothed power spectra model assuming linear relationship with two neighbor points of accelerograms and direct solving of movement equations. Through all accelerograms 18 records were related to Golbaf and 5 records were related to Sirch and all of them had maximum acceleration of more than 0.05g. Resonance frequency range has been specified by earning the amount of central frequency and shape factor parameters for all the records. This range was calculated between 3.43 and 8.76 hertz. By generalization of the calculated result, to the whole province, one can say that the structures which have a main frequency range of 3.43 to 8.76 hertz increase the damage of the earthquakes. Therefore, in structural designing, the main frequency of that range should be avoided by changing the structural mass or rigidity.

**Key words:** central frequency, Kanai-Tajimi, Power spectral density, resonance frequency, shape factor

## ۱- مقدمه

محدوده‌ی فرکانس تشدید در یک منطقه معلوم نباشد و در طراحی سازه‌ها لحاظ نشود، ممکن است ساختمان‌های زیادی با فرکانسی نزدیک به فرکانس تشدید زلزله‌های این منطقه، طراحی و ساخته شوند. در زلزله‌های بزرگ این پدیده باعث ورود انرژی بسیار زیادی به سازه‌ها و حتی ساختمان‌های با طراحی مناسب شده، تخریب شدید و صدمات جانی و مالی جبران ناپذیر را ایجاد می‌کند (محرز ۱۳۷۹). برای پیشگیری از وقوع این پدیده در سازه‌ها باید فهرست کل رکوردهای زلزله‌ی رخ داده در گلباف و سیرج، که از لرزه‌خیزترین نقاط استان کرمان به شمار می‌روند، از مرجع داده‌های پایه شتاب‌نگاشت‌های شبکه شتاب‌نگاری کشور (رمضی ۱۳۷۶) استخراج شوند. سپس فایل‌های شتاب‌نگاشت زلزله‌های این دو منطقه تهیه و برنامه‌ی محاسبه چگالی طیفی توان و مدل کانایی-تاجیمی نوشته، اجرا و مقادیر پارامترهای به دست آمده از روش گشتاورهای طیفی و نیز پارامترهای فرکانس مرکزی و ضریب شکل محاسبه شوند. با یک تحلیل آماری براساس این دو پارامتر محدوده‌ی فرکانس تشدید به دست می‌آید (محرز ۱۳۷۹). تا به حال مقدار پریود غالب حرکت برای چندین زلزله‌ی بزرگ ایران مثل طبس، ناغان و منجیل محاسبه شده است (برگی ۱۳۷۷). این پارامترها صرفاً با تحلیل یک رکورد زلزله حاصل شده و زیاد قابل اطمینان نیستند. اگر نتیجه‌ی

یکی از پدیده‌های مهم رفتار دینامیکی سیستم، پدیده‌ی رزونانس یا تشدید می‌باشد. حالت رزونانس زمانی ایجاد می‌گردد که پریود طبیعی سیستم با پریود بار دینامیکی وارده بسیار نزدیک باشد. در این حالت اثر بارهای وارده تشدید شده و تأثیرات شدیدی در سیستم برجای می‌گذارد (محرز ۱۳۷۹). تا به حال موارد بسیاری از وقوع پدیده‌ی تشدید در سازه‌ها در ایران گزارش شده است که می‌توان به مورد خاص زیر اشاره کرد. در روز اوک فروردین سال ۱۳۵۶ زلزله‌ای با بزرگی تقریباً هفت ریشتر در ۴۰ کیلومتری شمال بندرعباس رخ داد که در آن ۱۵۲ نفر کشته شدند. در بندرعباس، هتل گامرون که یک ساختمان بتنی است تغییر شکل زیادی در محل اتصالات و عناصر سازه‌ای داد. این هتل از دو قسمت قدیمی (چهار طبقه) و جدید (شش طبقه) تشکیل شده است که عمده خسارت در ساختمان شش طبقه، به دلیل نزدیکی پریود اصلی این ساختمان با پریود غالب زلزله، رخ داد. به ساختمان مجاور خسارت چندانی وارد نگردید (عادلی ۱۳۷۵). بنابراین تعیین محدوده‌ی فرکانس یا پریود تشدید زلزله در مناطق گلباف و سیرج و تعمیم نتایج آن به کل استان کرمان، اولین اقدامی است که می‌توان در جهت پیشگیری از وقوع پدیده‌ی تشدید در سازه‌های جدید الاحداث این استان انجام داد. در صورتی که

مذکور قابل اعتماد باشد، مختص آن منطقه‌ی خاص بوده و قابل

$$I(\omega) = m \int_0^T \ddot{x}(t) dt = \frac{1}{2} m [\dot{x}(T)]^2 \quad 2-$$

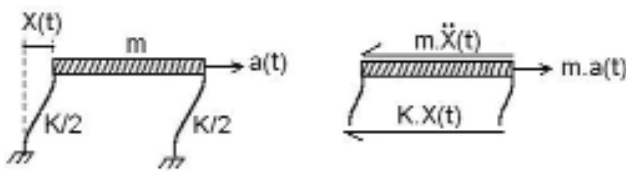
$$V(\omega) = \frac{1}{2} k [X(T)]^2 \quad 3-$$

که در آن  $m$  جرم،  $k$  سختی،  $\ddot{X}(t)$  شتاب مطلق سیستم تک درجه‌ی آزادی در لحظه‌ی  $t$  و  $\dot{X}(T)$  و به ترتیب تغییر مکان و سرعت نسبی سیستم در پایان مدت تداوم زلزله می‌باشند. با جایگزینی دو رابطه‌ی ۲ و ۳ در رابطه‌ی ۱ به ازای جرم واحد خواهیم داشت:

$$E(\omega) = \frac{1}{2} (\dot{x}(T))^2 + \omega^2 [X(T)]^2 \quad 4-$$

مطابق تصویر ۱ سازه‌ی تک درجه‌ی آزادی بدون میرایی تحت اثر

شتاب زمین  $a(t)$  در نظر گرفته می‌شود:



تصویر ۱- حرکت سیستم تک درجه‌ی آزادی بدون میرایی تحت اثر شتاب پایه (Chopra 1995)

حل معادله‌ی حرکت سیستم با استفاده از انتگرال دو هامل و به دست آوردن معادله‌ی سرعت و تغییر مکان نسبی سیستم و جایگزینی در رابطه‌ی ۴، ارتباط بین انرژی کل و توان کل سیستم تک درجه‌ی آزادی را مشخص می‌کند (برگی ۱۳۷۶):

$$G(\omega) = \frac{2}{\pi T} \cdot E(\omega) \quad 5-$$

برای محاسبه‌ی چگالی طیفی توان، از روش حل مستقیم معادلات حرکت استفاده می‌گردد. تنها فرض موجود در این روش خطی بودن شتاب بین دو نقطه‌ی متوالی در شتاب‌نگاشت بوده و بقیه‌ی محاسبات کاملاً دقیق می‌باشند. تصویر ۲ ارتباط خطی بین دو نقطه‌ی مجاور شتاب‌نگاشت را نشان می‌دهد.

برای محاسبه‌ی چگالی طیفی توان، بایستی در گام‌های متوالی به ازای هر فرکانس مقادیر زیر را در تمام مدت تداوم زلزله حساب نموده و بر اساس آن‌ها سرعت و تغییر مکان را محاسبه نمود (برگی ۱۳۷۶).

$$a(t) = b + c \cdot t \quad 6-$$

$$b = a(t_0) \quad , \quad C = \frac{a(t_1) - a(t_0)}{t_1 - t_0} \quad 7-$$

تعمیم به کل ایران نیست، زیرا پهنه‌بندی لرزه‌های ایران در همه‌ی نقاط یکسان نیست و محتوای فرکانسی حرکت در هر پهنه منحصر به فرد می‌باشد. بنابراین این مسئله مناطقی مثل استان کرمان را شامل نمی‌شود (بربریان ۱۳۵۶ و مهندسین مشاور تهران پادیر ۱۳۷۶). تا به حال در زمینه‌ی تعیین فرکانس تشدید زلزله در استان کرمان بررسی انجام نشده است. در این تحقیق با استفاده از ۲۳ رکورد ثبت شده‌ی بین سال‌های ۱۹۸۱ تا ۲۰۰۰ میلادی و چگالی طیفی توان و مدل کانایی-تاجیمی، پیرو غالب حرکت و فرکانس تشدید در مراکز گلباف و سیرج تعیین گردید.

## ۲- مواد و روشها

ابتدا کلیه‌ی شتاب‌نگاشت‌های ثبت شده در مناطق گلباف و سیرج تهیه و از میان آنها شتاب‌نگاشت‌هایی که شتاب حداکثر آنها کمتر از  $0.05g$  بود حذف گردید. ۲۳ رکورد زلزله باقی ماند که از این میان ۱۸ رکورد مربوط به گلباف و پنج رکورد مربوط به سیرج بود. در جدول ۱ مشخصات این رکوردها ارائه شد.

برای به دست آوردن فرکانس تشدید، از چگالی طیفی توان و مدل کانایی-تاجیمی استفاده شد. توان در واقع مقدار انرژی بر واحد زمان می‌باشد. در مهندسی زلزله، طیف توان مقدار انرژی ورودی زلزله بر واحد زمان به سیستم را نشان می‌دهد. پدیده‌های طبیعی اکثراً تصادفی بوده و از نظم خاصی پیروی نمی‌کنند. در مهندسی سازه و مهندسی زلزله نیز باد، موج، انفجار، زلزله و ضربه، پدیده‌های تصادفی هستند.

از مهم‌ترین راه‌هایی که می‌توان رفتار تصادفی پدیده‌ای را به رفتار قابل پیش‌بینی تبدیل نمود، استفاده از چگالی طیفی توان می‌باشد که در واقع نشانگر بسیاری از خصوصیات و مشخصات آماری فرآیند می‌باشد. کل انرژی جذب شده توسط یک سیستم تحت اثر زلزله‌ی  $(E(\omega))$  برابر مجموع انرژی‌های پتانسیل  $(V(\omega))$  و جنبشی  $(I(\omega))$  سیستم در پایان مدت تداوم زلزله می‌باشد (برگی ۱۳۷۶، Elghadamsi et al. 1988):

$$E(\omega) = I(\omega) + V(\omega) \quad 1-$$

انرژی پتانسیل و جنبشی سیستم تک درجه‌ی آزادی با فرکانس طبیعی  $\omega$  در پایان مدت تداوم زلزله  $(T)$  به صورت زیر محاسبه

جدول ۱- اطلاعات مربوط به شتاب‌نگاشت‌های ثبت شده‌ی گلباف و سیرج، سال‌های ۱۹۸۱ تا ۲۰۰۰ میلادی با حداکثر شتاب بیش از ۰/۰۵g

ردیف	نام ایستگاه	شماره‌ی رکورد	مختصات جغرافیایی		تاریخ وقوع	زمان وقوع	مرکز مهلهزه			بزرگی		منبع	زمان	جنس
			E	N			E	N	h:m:s	d-m-y	mb			
۱	گلباف	۱۱۷۲-۶	۲۹/۸۸	۵۲/۷۲	۱۹۸۱/۰۶/۲۱	۱۳:۰۸:۴۸	۲۹/۸۶	۵۷/۸۵		۴/۳	۴/۹	ISC	۱۴/۵۲	زمین
۲	گلباف	۱۱۷۶-۵	۲۹/۸۸	۵۲/۷۲	۱۹۸۱/۰۷/۲۸	۱۷:۲۲:۳۳	۲۹/۹۹	۵۷/۷۷		۷/۰	۵/۹	ISC	۵۹/۰۶	III-A
۳	گلباف	۱۱۷۶-۱۷	۲۹/۸۸	۵۲/۷۲	۱۹۸۱/۰۷/۲۸								۱۰/۲۲	III-A
۴	گلباف	۱۱۷۶-۲۱	۲۹/۸۸	۵۲/۷۲	۱۹۸۱/۰۸/۳۰	۰۵:۲۰:۱۹	۳۰/۱۰	۵۷/۶۰			۳/۹	ISC	۱۳/۷۴	
۵	گلباف	۱۱۷۶-۲۳	۲۹/۸۸	۵۲/۷۲	۱۹۸۱/۰۶/۳۱	۰۰:۳۷:۴۹	۳۰/۰۰	۵۷/۵۵			۴/۵	ISC	۷	III-A
۶	گلباف	۱۱۷۶-۲۹	۲۹/۸۸	۵۲/۷۲	۱۹۸۱/۰۸/۰۳	۰۲:۵۵:۴۴	۲۹/۹۶	۵۷/۸۸		۳/۹	۴/۶	ISC	۱۴/۸۶	III-A
۷	گلباف	۱۱۸۳-۱	۲۹/۸۸	۵۲/۷۲	۱۹۸۱/۰۸/۰۸	۰۴:۱۷:۴۷	۳۰/۰۳	۵۷/۷۱		۴/۰	۴/۸	ISC	۱۳/۸۶	III-A
۸	گلباف	۱۱۸۳-۸	۲۹/۸۸	۵۲/۷۲	۱۹۸۱/۰۹/۲۶	۰۷:۳۳:۳۰	۳۰/۴۲	۵۷/۶۸			۴/۶	ISC	۶	III-A
۹	گلباف	۱۱۸۳-۱۰	۲۹/۸۸	۵۲/۷۲	۱۹۸۱/۱۰/۱۴	۰۹:۱۲:۴۰	۲۹/۹۰	۵۷/۷۸		۴/۶	۵/۲	ISC	۱۷/۰۶	III-A
۱۰	گلباف	۱۱۹۱-۳	۲۹/۸۸	۵۲/۷۲	۱۹۸۲/۰۲/۲۵	۲۳:۳۰:۲۴	۲۹/۸۳	۵۷/۷۸			۴/۷	ISC	۶/۵	III-A
۱۱	گلباف	۱۱۲۰۰	۲۹/۸۸	۵۲/۷۲	۱۹۸۳/۰۲/۲۸	۰۱:۳۷:۳۵	۲۹/۹۹	۵۷/۸۱			۴/۵	ISC	۱۷/۷۸	III-A
۱۲	سیرج	۱۲۶۸	۳۰/۱۹	۵۷/۵۶	۱۹۸۵/۰۶/۲۸	۱۳:۳۵:۳۱	۳۰/۶۳	۵۷/۵۱			۴/۷	ISC	۹/۰۲	III-B
۱۳	سیرج	۱۳۰۷-۱	۳۰/۱۹	۵۷/۵۶	۱۹۸۷/۰۸/۱	۱۳:۴۳:۳۳	۲۹/۹۹	۵۷/۶۷			۴/۶	ISC	۶	III-B
۱۴	گلباف	۱۳۳۶	۲۹/۸۸	۵۲/۷۲	۱۹۸۸/۱۲/۰۳	۰۱:۲۳:۳۳	۳۰/۲۷	۵۷/۵۴			۴/۹	ISC	۱۱	III-A
۱۵	گلباف	۱۳۴۶-۱	۲۹/۸۸	۵۲/۷۲	۱۹۸۹/۱۱/۲۰	۰۴:۱۹:۰۵	۲۹/۸۸	۵۷/۷۲		۵/۷	۵/۵	ISC	۲۲/۲۶	III-A
۱۶	سیرج	۱۳۴۷-۴	۳۰/۱۹	۵۷/۵۶	۱۹۸۹/۱۱/۲۰	۰۴:۱۹:۰۵	۲۹/۸۸	۵۷/۷۲		۵/۷	۵/۵	ISC	۱۸/۵۸	III-B
۱۷	سیرج	۱۴۲۵	۳۰/۱۹	۵۷/۵۶	۱۹۹۲/۰۲/۱۰	۱۶:۳۸:۳۸	۳۰/۱۹	۵۷/۴۸			۴/۶	NEIC	۷/۶۶	III-B
۱۸	گلباف	۱۸۷۲-۸	۲۹/۸۸	۵۲/۷۲	۱۹۹۸/۰۳/۱۴	۲۲:۱۴:۲۵							۲۳/۰۴	III-A
۱۹	گلباف	۱۸۷۴-۷	۲۹/۸۸	۵۲/۷۲	۱۹۹۸/۰۳/۲۸	۰۷:۵۸:۴۸	۲۹/۷۸	۵۷/۵۳			۴/۴	NEIC	۲۵/۰۶	III-A
۲۰	گلباف	۱۸۷۴-۹	۲۹/۸۸	۵۲/۷۲	۱۹۹۸/۰۴/۰۳	۰۵:۱۴:۴۲							۲۴/۳۲	III-A
۲۱	گلباف	۲۱۵۶-۱	۲۹/۸۸	۵۲/۷۲	۱۹۹۸/۰۵/۲۸	۱۸:۰۵:۴۷							۲۴/۳۲	III-A
۲۲	گلباف	۲۱۵۶-۲	۲۹/۸۸	۵۲/۷۲	۱۹۹۸/۰۵/۳۱	۱۱:۵۸:۱۹							۲۳/۰۴	III-A
۲۳	گلباف	۲۵۰۳-۲	۳۰/۱۹	۵۷/۵۶	۲۰۰۰/۱۱/۰۲	۱۵:۲۶:۲۶							۲۳/۰۴	

$$A_1 = \frac{c}{\omega^2} \text{ و } A_0 = \frac{b}{\omega^2} \quad -9$$

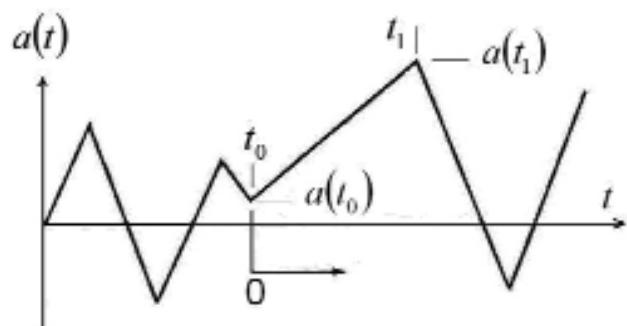
$$A_3 = \frac{1}{\omega} [x(t_0) - A_1] \text{ و } A_2 = x(t_0) - A_0 - 1 \quad -10$$

لحظه عبارت است از:

$$x(t) = A_1 + A_3 \cdot \omega \cos \omega t - A_2 \cdot \omega \cdot \sin \omega t \quad -11$$

با محاسبات متوالی سرعت و تغییر مکان سیستم در پایان مدت تداوم زلزله تعیین می‌شود. رابطه‌ی ۴ انرژی کل و رابطه‌ی ۵ توان کل سیستم تک درجه‌ی آزادی بدون میرایی را محاسبه می‌کنند. در تصویر ۳، شتاب‌نگاشت مربوط به زلزله‌ی سال ۱۳۶۰ گلباف و در تصویر ۴ چگالی طیفی توان این زلزله، نشان داده شده‌اند.

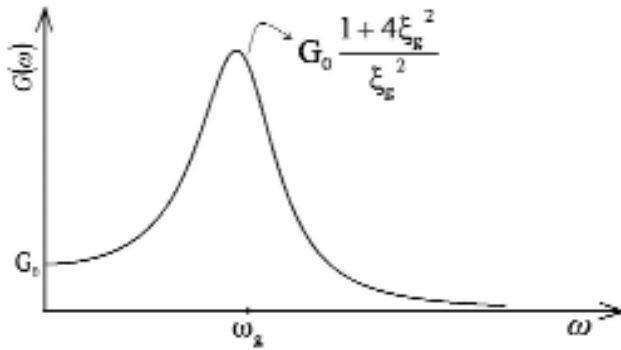
چگالی‌های طیفی توان حتی در محدوده‌های فرکانسی کوچک



تصویر ۲- شتاب‌نگاشت زلزله با تغییرات خطی شتاب بین نقاط متوالی (برگی ۱۳۷۶)

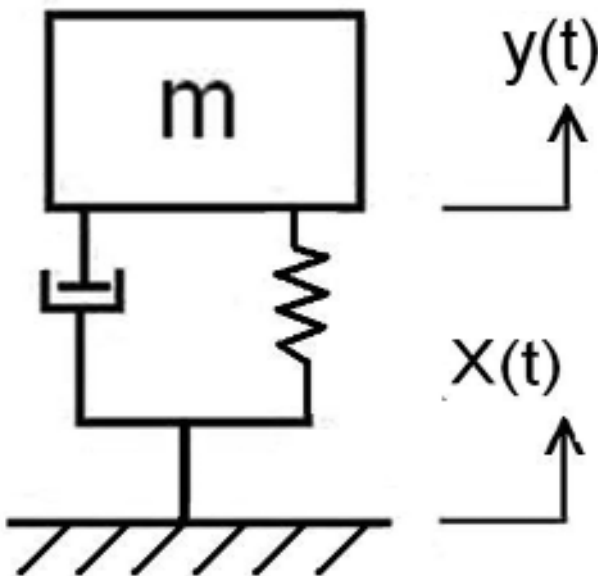
تغییر مکان نسبی سیستم عبارت خواهد بود از:

$$x(t) = A_0 + A_1 t + A_2 \cdot \cos \omega t + A_3 \cdot \sin \omega t \quad -8$$



تصویر ۵- تصویر کلی مدل کانایی- تاجیمی (برگی ۱۳۷۷)

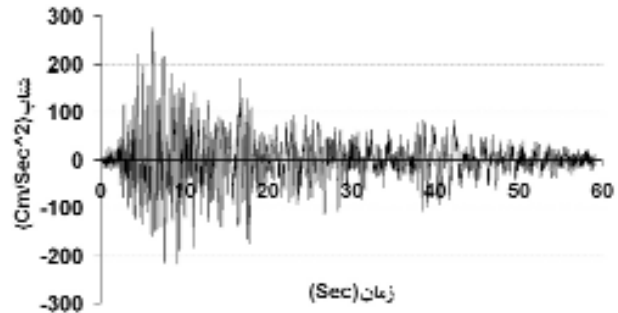
خاک در سطح زمین عبور می‌کند و به این لایه که همانند یک سیستم تک درجه‌ی آزادی در نظر گرفته می‌شود تغییر مکان تکیه‌گاهی وارد می‌کند. در تصویر ۶ لایه‌ی سطحی خاک مدل سازی شده است: در صورتی که لایه‌ی خاک مطابق تصویر ۶ به صورت یک سیستم تک درجه‌ی آزادی در نظر گرفته شود، پاسخ آن را با استفاده از ضربه به دست آورده و رابطه‌ی این مدل از تئوری ارتعاشات تصادفی به صورت زیر به دست می‌آید (برگی ۱۳۷۷ و محرز ۱۳۷۹):



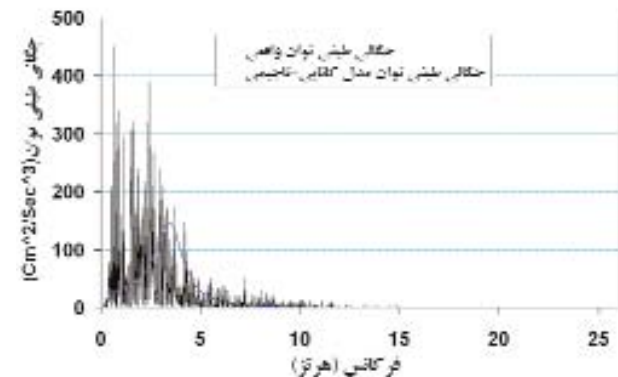
تصویر ۶- سیستم تک درجه آزادی، لایه سطحی خاک (برگی ۱۳۷۷)

$$G(\omega) = \frac{1 + 4\xi_g^2 (\omega/\omega_g)^2}{[-(\omega/\omega_g)^2]^2 + 4\xi_g^2 (\omega/\omega_g)^2} G_0 \quad -12$$

رابطه‌ی فوق تابع چگالی طیفی توان کانایی- تاجیمی می‌باشد. در این مدل اگر خاکی که موج زلزله از آن عبور می‌کند تنها یک لایه فرض شود که روی بستر سنگی قرار دارد،  $\omega_g$  بیابانگر فرکانس

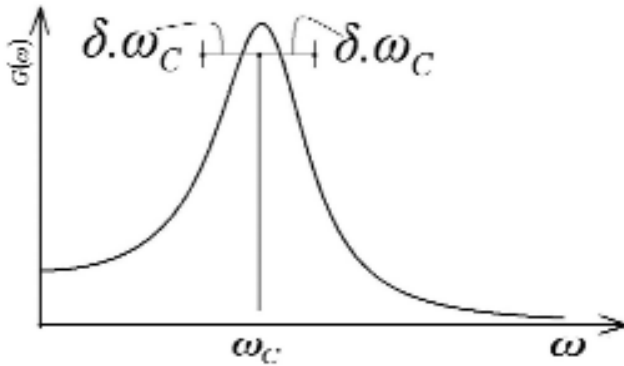


تصویر ۳- شتاب نگاشت ردیف ۲ از جدول ۱ با بیشینه‌ی شتاب ۲۷۴۸ cm/s<sup>2</sup>



تصویر ۴- چگالی طیفی توان مربوط به شتاب نگاشت ردیف ۲ از جدول ۱

دارای نوسانات زیادی هستند و مقدار دقیقی نشان نمی‌دهند. بنابراین با استفاده از مدل‌های مختلف از چگالی طیفی توان میانگین‌گیری کرده و چگالی طیفی توان صاف شده حاصل می‌شود. برای صاف کردن چگالی طیفی توان از یک تابع ریاضی هماهنگ با اصول ارتعاشات تصادفی استفاده می‌شود. پژوهشگران مدل‌های مختلف ریاضی را برای به دست آوردن چگالی طیفی توان صاف شده ارائه نموده‌اند. بولتین (Bolotin 1960)، بارشین (Barstein 1960) و اینگار و اینگار (Iyengar Iyengar ۱۹۶۹) دو مدل مختلف برای چگالی طیفی توان ارائه نمودند. مدل نویز سفید و کانایی- تاجیمی نیز دو مدل دیگر هستند (Tajimi 1960). به دلیل قابلیت بالای مدل کانایی- تاجیمی در آنالیز احتمالاتی سازه‌ها، تولید شتاب نگاشت‌های مصنوعی و وجود سه پارامتری که از آنالیز رکوردهای زلزله به دست می‌آیند، این مدل مهم‌ترین و پرکاربردترین مدل تابع چگالی طیفی توان به شمار می‌رود. در این تحقیق از این مدل برای تعیین پارامترهای لرزه‌ای خاک‌های مناطق سیرچ و گلباف استفاده شد (برگی ۱۳۷۷). شکل کلی این مدل در تصویر ۵ نشان داده شده است: در این مدل فرض بر این است که موج زلزله از بالاترین لایه‌ی



تصویر ۷- فرکانس مرکزی و ضریب شکل در مدل کانایی-تاجیمی (خسروی ۱۳۸۳)

$$\lambda_0 = \frac{\pi G_0 \omega_g}{4 \xi_g} J_0(\Omega^*) \left(1 + 4 \xi_g^2\right) = \frac{\pi G_0}{4 \xi_g} \omega_g A \quad -19$$

$$\lambda_1 = \frac{\pi G_0}{4 \xi_g} \omega_g^2 B \quad -20$$

$$\lambda_2 = \frac{\pi G_0 \omega_g^3}{4 \xi_g} C \quad -21$$

که در آن:

$$A = \left(1 + 4 \xi_g^2\right)^2 \quad -22$$

$$B = \left[ \frac{J_1(\Omega^*) + 4 \xi_g^2 J_3(\Omega^*)}{1 + 4 \xi_g^2 - 8 \xi_g^4} \tan^{-1} \left( \frac{2 \xi_g \left(1 - \xi_g^2\right)}{1 - 2 \xi_g^2} \right) \right] \quad -23$$

$$C = J_2(\Omega^*) + 4 \xi_g^2 J_4(\Omega^*) \quad -24$$

$$J_i(\Omega^*) = \frac{4 \xi_g}{\pi} \int_0^{\Omega^*} \frac{\Omega^i d\Omega}{\left(1 - \Omega^2\right) + 4 \xi_g^2 \Omega^2} \quad -25$$

$$\Omega^* = \frac{\omega}{\omega_g} = \frac{25\pi}{\omega_g} \quad -26$$

برای محاسبه‌ی پارامترهای مدل کانایی-تاجیمی و طیف توان صاف شده، پارامترهای روش گشتاورهای طیفی  $(\lambda_3, \lambda_2, \lambda_1)$  با استفاده از فرمول‌های ۱۳، ۱۵، ۱۷ و همچنین ۱۹، ۲۰ و ۲۱ جداگانه محاسبه و مساوی قرار داده می‌شوند. پهنای معرفی شده توسط پارامتر ضریب شکل در منحنی چگالی طیفی توان به عنوان پهنای باند فرکانسی تشدید منظور می‌شود. حاصل ضرب پارامتر ضریب شکل در پارامتر فرکانس مرکزی بازه‌ی فرکانسی را در قبل و بعد از فرکانس مرکزی مشخص می‌کند. این بازه‌ی فرکانسی با حاشیه‌ی اطمینان مناسبی محدوده‌ی فرکانس تشدید در سازه را نشان می‌دهد. بنابراین دامنه‌ی

طبیعی لایه‌ی خاک، پارامتر  $\xi_g$  نشانگر نسبت میرایی و بیانگر پهنای محتوای فرکانسی حرکت خاک و پارامتر  $G_0$  نشانگر شدت القاء در بستر سنگی می‌باشد. روش مناسب برای به دست آوردن پارامترهای واریانس القاء، فرکانس مرکزی و ضریب شکل، روش گشتاورهای طیفی است که بر اساس چگالی طیفی توان واقعی و روابط ارائه شده توسط پولگرانو (Pulgrano 1969) و آبلوتیز (Ablowitz 1969) محاسبه و مساوی قرار داده می‌شوند. از تساوی آن‌ها پارامترهای مدل کانایی تاجیمی به دست خواهند آمد. واریانس القاء حرکت براساس چگالی طیفی توان به صورت زیر به دست می‌آید:

$$\sigma^2 = \lambda_0 = \int_0^{\infty} G(\omega) d\omega \quad -13$$

با توجه به رابطه‌ی فوق واریانس القاء برای مدل کانایی تاجیمی

عبارت است از:

$$\sigma^2 = \int_0^{\infty} G(\omega) d\omega = \frac{\pi G_0 \omega_g}{4 \xi_g} \left(1 + 4 \xi_g^2\right)^2 \quad -14$$

دومین گشتاور طیفی به صورت زیر تعریف می‌شود:

$$\lambda_2 = \int_0^{\infty} \omega^2 G(\omega) d\omega \quad -15$$

براین اساس فرکانس مرکزی به صورت زیر به دست می‌آید:

$$\omega_c = \left[\lambda_2 / \lambda_0\right]^{1/2} \quad -16$$

این پارامتر بیانگر محل تمرکز جرم طیفی در طول محور فرکانس

می‌باشد. اولین گشتاور طیفی نیز از رابطه‌ی زیر به دست می‌آید:

$$\lambda_1 = \int_0^{\infty} \omega G(\omega) d\omega \quad -17$$

چنین ضریب شکل ( $\delta$ ) از رابطه‌ی زیر محاسبه می‌شود:

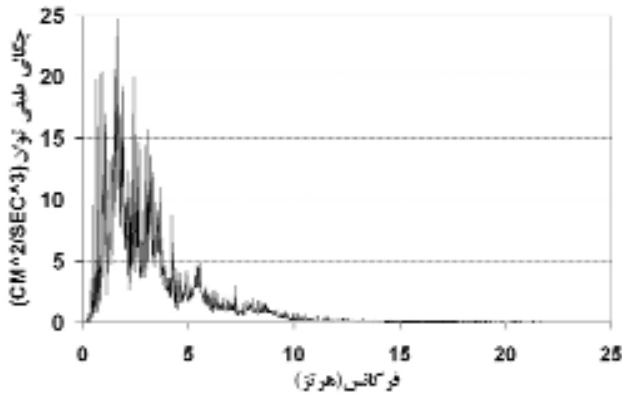
$$\delta = \left[1 - \frac{\lambda_1^2}{\lambda_0 \lambda_2}\right]^{1/2} \quad -18$$

مطابق تصویر ۷ پارامتر ( $\delta$ ) پهنای تابع چگالی طیفی توان حول فرکانس مرکزی و نوع محتوای فرکانسی حرکت و ساختار زمین را نشان می‌دهد.

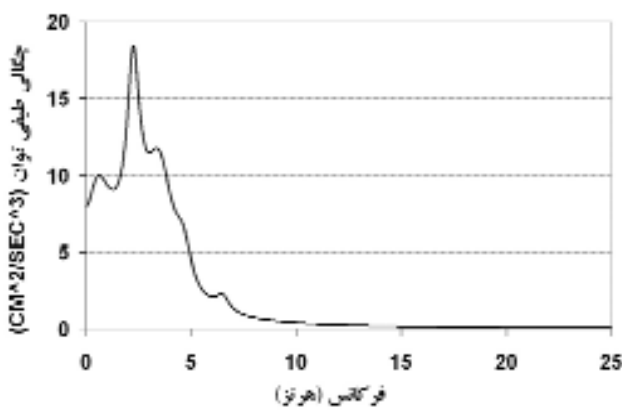
روابط زیر را برای محاسبه‌ی گشتاورهای طیفی توان کانایی-

تاجیمی توسط پولگرانو (Pulgrano 1969) و آبلوتیز (Ablowitz, 1969) برگرفته از لای (Lai 1982) ارائه گردید:





تصویر ۸- میانگین چگالی‌های طیفی توان ۲۳ رکورد ثبت شده در گلباف و سیرج



تصویر ۹- میانگین چگالی‌های طیفی توان صاف شده ۲۳ رکورد ثبت شده در گلباف و سیرج با استفاده از مدل کانایی- تاجیمی

در جدول ۲ مقادیر محاسبه شده توسط برنامه‌ای شامل مقادیر پارامترهای مدل کانایی- تاجیمی یعنی شدت حرکت زمین  $(G_0)$ ، فرکانس غالب زمین  $(\omega_g)$ ، میرایی غالب زمین  $(\xi_g)$  و نیز مقادیر پارامترهای روش گشتاورهای طیفی یعنی فرکانس مرکزی  $(\omega_c)$  ضریب شکل  $(\delta)$  و واریانس القا  $\sigma^2$  برای کلیه‌ی رکوردهای ثبت شده‌ی گلباف و سیرج ارائه شده است. چنانچه در جدول ۲ مشاهده می‌شود برای شش رکورد از رکوردهای مورد بررسی، انطباق بین چگالی طیفی توان و مدل کانایی- تاجیمی صورت نگرفته است، اما پارامترهای مورد نیاز برای محاسبه‌ی دامنه‌ی فرکانس تشدید یعنی فرکانس مرکزی و ضریب شکل برای کلیه‌ی رکوردها به دست آمده‌اند. همان‌طور که در فرمول‌های ۳۲ و ۳۳ نشان داده شد، بازه‌ی فرکانس تشدید را می‌توان بازه‌ی  $[F_1, F_2]$  در نظر گرفت، بنابراین به منظور محاسبه‌ی این بازه در جدول ۳، بازه‌ی فرکانسی  $[\omega_c(1-\delta), \omega_c(1+\delta)]$  برای تک تک رکوردها محاسبه شده و در نهایت از حد پایین و بالای این محدوده میانگین‌گیری شده است.

پائین و بالای این محدوده به صورت زیر محاسبه می‌شود:

$$\omega_c - \delta \cdot \omega_c = \omega_c (1 - \delta) \quad \text{۲۷- دامنه‌ی پایین:}$$

$$\omega_c + \delta \cdot \omega_c = \omega_c (1 + \delta) \quad \text{۲۸- دامنه‌ی بالا:}$$

براساس تحقیقات لای (Lai 1982)، ارتباط بین فرکانس مرکزی

$(\omega_c)$  با پریود غالب حرکت  $(T_p)$  به صورت ذیل ارائه شده است

(خسروی ۱۳۸۳):

$$T_p = \frac{2\pi}{\omega_c} \quad \text{۲۹- بنا براین می‌توان دامنه‌ی بالا و پائین پریود غالب}$$

حرکت  $[T_{p1}, T_{p2}]$  و همچنین دامنه‌ی بالا و پائین فرکانس تشدید

سازه  $[F_1, F_2]$  را به صورت ذیل محاسبه نمود:

$$T_{p1} = \frac{2\pi}{\omega_c(1+\delta)} \quad \text{۳۰-}$$

$$T_{p2} = \frac{2\pi}{\omega_c(1-\delta)} \quad \text{۳۱-}$$

$$f_1 = \frac{1}{T_{p1}} \quad \text{۳۲-}$$

$$f_2 = \frac{1}{T_{p2}} \quad \text{۳۳-}$$

### ۳- یافته‌ها

به منظور محاسبه‌ی چگالی طیفی توان هر شتاب‌نگاشت و صاف

شده‌ی آن برنامه‌ای توسط مؤلف به زبان فرترن نوشته شد. این برنامه

شتاب‌نگاشت مورد نظر و مدت تداوم آن را از فایل معرفی شده

می‌خواند. سپس برنامه با تغییر دادن فرکانس سازه در یک حلقه، از

۰/۰۰۵ هرتز تا ۲۵ هرتز با گام‌های ۰/۰۰۵ هرتز به ازای هر فرکانس در

تمام مدت شتاب‌نگاشت با استفاده از معادلات ۸ و ۱۱ سرعت و تغییر

مکان سازه‌ی تک درجه‌ی آزادی را محاسبه می‌کند و انرژی و توان

ورودی به این سازه را در پایان مدت شتاب‌نگاشت از معادله‌ی ۴ و ۵

محاسبه می‌نماید. پس از پایان این حلقه به ازای هر فرکانس در بازه‌ی

فرکانسی صفر تا ۲۵ هرتز که محدوده‌ی فرکانس طبیعی سازه‌ها نیز

هست، مقادیر توان ورودی به سازه به دست می‌آید که با ترسیم این

دو مقدار نسبت به هم، چگالی طیفی توان شتاب‌نگاشت مزبور

حاصل می‌شود. برنامه برای صاف کردن چگالی طیفی توان بر اساس

مدل کانایی- تاجیمی از روش گشتاورهای طیفی استفاده می‌کند و در

هر فرکانس مقادیر چگالی طیفی توان صاف شده را محاسبه و ارائه

می‌کند. باتوجه به اینکه ارائه‌ی کلیه‌ی اشکال چگالی طیفی توان در

این مقاله مقدور نمی‌باشد، میانگین طیف‌های مذکور در تصاویر ۸ و ۹

نشان داده شده است.

جدول ۲- مقادیر پارامترهای روش گشتاورهای طیفی و مدل کانایی- تاجیمی برای ۲۳ رکورد زلزله‌ی گلباف و سیرج

ردیف	شماره‌ی رکورد	محل وقوع زلزله	$\omega_g$ Red/Sec	$\delta$	$\sigma^2(\text{cm}^2/\text{sec}^4)$	$\xi_g$	$\omega_g$ Red/Sec	$G0(\text{cm}^2/\text{sec}^4)$
۱	۱۱۷۲-۶	گلباف	۳۳/۶۴	۰/۵	۳۳/۴۰	۰/۹۶	۸/۶۶	۲/۸۱
۲	۱۱۷۶-۵	گلباف	۲۴/۳۵	۰/۶۳	۲۱۶۶/۶	۰/۲۴	۲۲/۵۶	۲۶/۴۶
۳	۱۱۷۶-۱۷	گلباف	۲۹/۵۶	۰/۵۳	۳۴/۸۵	۰/۹۷	۶/۱۴	۳/۲۱
۴	۱۱۷۶-۲۱	گلباف	۴۴/۳۵	۰/۵۴	۴۴/۲۳	۰/۹۰	۲۴/۸۲	۰/۹۹
۵	۱۱۷۶-۲۳	گلباف	۵۱/۶۸	۰/۴۷	۹۱/۶۳	-	-	-
۶	۱۱۷۶-۲۹	گلباف	۴۰/۸۷	۰/۴۰	۱۲۱/۴۷	۰/۸۹	۱۸/۰۸	۳/۷۳
۷	۱۱۸۳-۱	گلباف	۳۱/۵۵	۰/۴۵	۹۲/۵۲	۰/۹۲	۸/۰۸	۶/۴
۸	۱۱۸۳-۸	گلباف	۴۰/۲	۰/۳۱	۱۶۸/۸۵	۰/۸۷	۱۷/۹۲	۵/۲
۹	۱۱۸۳-۱۰	گلباف	۲۵/۴۹	۰/۵۳	۶۲۳/۳۱	۰/۹۳	۴/۷۸	۷۳/۱۲
۱۰	۱۱۹۱-۳	گلباف	۲۸/۵۵	۰/۴۴	۳۳۹/۸	۰/۸۰	۲۸/۸۸	۱/۴۷
۱۱	۱۱۲۰۰	گلباف	۱۷	۰/۴۹	۱۱۴/۲۲	۰/۱۲	۱۶/۷۶	۱/۰۱
۱۲	۱۲۶۸	سیرج	۴۷/۹	۰/۵۰	۳۳/۶۵	۰/۹۹	۳۲/۹۴	۰/۵۸
۱۳	۱۳۰۷-۱	سیرج	۶۴/۰۱	۰/۴۸	۵۴/۳۵	-	-	-
۱۴	۱۳۳۶	گلباف	۲۹/۸	۰/۳۹	۸۲/۱۹	۰/۰۸	۳/۰۲	۰/۲۷
۱۵	۱۳۴۶-۱	گلباف	۱۴/۹۷	۰/۵۴	۱۲۹۹/۶	۰/۸۵	۱۴/۳۶	۱۶/۵۶
۱۶	۱۳۴۷-۴	سیرج	۲۳/۸۲	۰/۵۵	۱۴۴/۳۹	۰/۱۷	۲۳/۳	۱/۲۷
۱۷	۱۴۲۵	سیرج	۴۰/۱۱	۰/۳۵	۱۳۹/۸۳	۰/۰۶	۴۰/۹۶	۰/۲۶
۱۸	۱۸۷۲-۸	گلباف	۵۱/۵۵	۰/۴۰	۴/۵۷	-	-	-
۱۹	۱۸۷۴-۷	گلباف	۵۰/۷۲	۰/۴۳	۴۲/۶۳	-	-	۰/۰۶
۲۰	۱۸۷۴-۹	گلباف	۲۹/۶	۰/۳۹	۱۹/۹۲	۰/۰۷	۲۹/۹۸	۰/۰۳
۲۱	۲۱۵۶-۱	گلباف	۳۵/۸۹	۰/۴۳	۹/۴۷	۰/۸۰	۳۶/۷۲	-
۲۲	۲۱۵۶-۲	گلباف	۶۰/۴۹	۰/۲۸	۲۲/۴۶	-	-	-
۲۳	۲۵۰۳-۲	گلباف	۶۴/۹۱	۰/۳۷	۳/۶۷	-	-	-

#### ۴- بحث

عریض ترین باند فرکانسی را رکورد گلباف (۱۱۷۶-۵) و باریکترین باند فرکانسی را رکورد گلباف (۲-۲۱۵۶) دارا می‌باشند. این بدین معنی است که در زلزله با شماره‌ی رکورد (۵-۱۱۷۶)، طیف وسیع تری از انواع سازه‌ها با تعداد طبقات و سختی‌های مختلف، به دلیل جذب انرژی زیاد، زودتر از سایر سازه‌ها آسیب دیده‌اند، ولی در مورد زلزله با شماره‌ی رکورد (۲-۲۱۵۶) به دلیل باند فرکانسی باریک دامنه‌ی محدودتری از سازه‌ها دچار آسیب شده‌اند. مطابق فرمول ۱۳ پارامتر  $\sigma^2$  برابر با سطح زیرمنحنی چگالی طیفی توان و در واقع برابر با توان کل حرکت می‌باشد. بیشترین توان کل را زلزله‌ی گلباف با شماره‌ی رکورد (۵-۱۱۷۶) دارد و به این معنی است که این زلزله بیشترین میزان انرژی آزاد شده در واحد زمان را داشته و به همین دلیل سرعت

القادمسی و همکاران (Elghadamsi et al., 1988) پس از مطالعات زیاد بر روی فرکانس مرکزی زمین، مقدار این پارامتر را برای خاک‌های آبرفتی ۲۵/۷۶ رادیان بر ثانیه به دست آوردند. با سخت تر شدن خاک مقدار این پارامتر افزایش می‌یابد، به طوری که میانگین آن برای لایه‌ی سنگی حدود ۳۴ رادیان بر ثانیه به دست آمد. جنس لایه‌ی سطحی خاک در مناطق گلباف و سیرج از لایه‌های سنگی تشکیل شده است، چرا که میانگین مقادیر این پارامتر ۳۸/۳ رادیان بر ثانیه می‌باشد (جدول ۲).

از مطالعه‌ی مقادیر پارامتر  $\delta$  در جدول ۲ که پهنای باند فرکانسی مدل کانایی- تاجیمی را نشان می‌دهد دیده می‌شود که



جدول ۳- محاسبه‌ی بازه‌ی فرکانسی تشدید برای سازه‌های واقع در گلباف و سیرج ۳۰ تا ۳۳ می‌توان محدوده‌ی فرکانس تشدید و پریود غالب حرکت

سازه‌های واقع در گلباف و سیرج را به صورت زیر محاسبه نمود:

$$T_{p1} = \frac{2\pi}{21.55} = 0.29 \text{ Sec}$$

حد بالای پریود غالب حرکت

$$T_{p2} = \frac{2\pi}{55.06} = 0.11 \text{ Sec}$$

حد پائین پریود غالب حرکت

$$f_1 = \frac{1}{T_{p1}} = 3.43 \text{ Hz}$$

حد پائین فرکانس تشدید

$$f_2 = \frac{1}{T_{p2}} = 8.76 \text{ Hz}$$

حد بالای فرکانس تشدید

مطابق محاسبات فوق با در نظر گرفتن حاشیه‌ی اطمینان

مناسبی، شاید بتوان گفت ساختمان‌های ساخته شده در گلباف یا

سیرج که دارای فرکانس اصلی در محدوده‌ی ۳/۳۴ الی ۸/۷۶ هرتز یا

پریود اصلی در محدوده‌ی ۰/۱۱ الی ۰/۲۹ ثانیه باشند، در معرض خطر

ایجاد پدیده‌ی تشدید هستند. شدیدترین خطر برای ساختمان‌هایی با

پریود اصلی ۰/۱۶ ثانیه یا فرکانس اصلی ۶/۱ هرتز که مرکز بازه‌های

مذکور هستند وجود دارد. در مورد ساختمان‌هایی با ارتفاع یک تاده

طبقه پریود اصلی ساختمان تقریباً برابر ۰/۱ تعداد طبقات است و با

توجه به محدوده‌ی پریود به دست آمده برای تشدید شاید بتوان گفت

خطر تشدید برای ساختمان‌های یک تا سه طبقه زیاد و برای

ساختمان‌های دو طبقه حداکثر است.

با توجه به پهنه‌بندی لرزه‌ای ایران، استان کرمان واقع در ناحیه‌ی

ایران مرکزی، از نظر محتوای فرکانسی حرکت و شباهت لایه‌های

زمین در تمامی نقاط دارای شرایط تقریباً یکسان می‌باشد و نتایج به

دست آمده برای مناطق گلباف و سیرج را می‌توان حداقل به کل استان

کرمان تعمیم داد (بربریان ۱۳۵۶ و مهندسین مشاور تهران پادیر ۱۳۷۶).

نظر به اینکه فرکانس ارتعاش هر ساختمان ارتباط مستقیم با جرم

و سختی سازه دارد به عنوان یک نتیجه‌ی عملی از این مقاله شاید

توان چنین توصیه کرد که در صورتی که در این استان سازه‌ای در

حال طراحی باشد باید دقت کرد که فرکانس یا پریود اصلی سازه در

محدوده‌ی خطر ایجاد پدیده‌ی تشدید (۰/۱۱ الی ۰/۲۹ ثانیه یا ۳/۴۳

الی ۸/۷۶ هرتز) قرار نگیرد و چنانچه به اقتضای وضعیت سازه چنین

اتفاقی افتاد باید با تغییر دادن جرم یا سختی سازه فرکانس اصلی سازه

راتغییر داد.

#### ۴- تشکر و قدردانی

این مقاله طرح تحقیقاتی انجام شده توسط مؤلف با عنوان تعیین

فرکانس ساختمان‌های در معرض خطر ایجاد پدیده‌ی تشدید یا

ردیف	شماره‌ی رکورد	محل وقوع زلزله	$\omega_g$	$\delta$	$1-\delta$	$1+\delta$	$\omega_g$ $(1-\delta)$	$\omega_g$ $(1+\delta)$
۱	۱۱۷۲-۶	گلباف	۳۳/۶۴	۰/۵۰	۰/۵	۰/۵	۸/۶۶	۲/۱۸
۲	۱۱۷۶-۵	گلباف	۳۵/۲۴	۰/۶۳	۰/۳۷	۰/۶۳	۲۲/۵۶	۲۶/۴۶
۳	۱۱۷۶-۱۷	گلباف	۲۹/۵۶	۰/۵۳	۰/۴۷	۰/۵۳	۶/۱۴	۳/۲۱
۴	۱۱۷۶-۲۱	گلباف	۳۵/۴۴	۰/۵۴	۰/۴۶	۰/۵۴	۲۴/۸۲	۰/۹۹
۵	۱۱۷۶-۲۳	گلباف	۵۱/۶۸	۰/۴۷	۰/۵۳	۰/۴۷	-	-
۶	۱۱۷۶-۲۹	گلباف	۸۷/۴۰	۰/۴۰	۰/۶۰	۰/۴۰	۱۸/۰۸	۳/۷۳
۷	۱۱۸۳-۱	گلباف	۳۱/۵۵	۰/۴۵	۰/۵۵	۰/۴۵	۸/۰۸	۶/۴
۸	۱۱۸۳-۸	گلباف	۲/۴۰	۰/۳۱	۰/۶۹	۰/۳۱	۱۷/۹۲	۵/۲
۹	۱۱۸۳-۱۰	گلباف	۲۵/۴۹	۰/۵۳	۰/۴۷	۰/۵۳	۴/۷۸	۷۳/۱۲
۱۰	۱۱۹۱-۳	گلباف	۲۸/۵۵	۰/۴۴	۰/۵۶	۰/۴۴	۲۸/۸۸	۱/۴۷
۱۱	۱۱۲۰۰	گلباف	۱۷	۰/۴۹	۰/۵۱	۰/۴۹	۱۶/۷۶	۱/۰۱
۱۲	۱۲۶۸	سیرج	۴۷/۹	۰/۵۰	۰/۵	۰/۵	۳۲/۹۴	۰/۵۸
۱۳	۱۳۰۷-۱	سیرج	۶۴/۰۱	۰/۴۸	۰/۵۲	۰/۴۸	-	-
۱۴	۱۳۳۶	گلباف	۲۹/۸	۰/۳۹	۰/۶۱	۰/۳۹	۳/۰۲	۰/۲۷
۱۵	۱۳۴۶-۱	گلباف	۱۴/۹۷	۰/۵۴	۰/۴۶	۰/۵۴	۱۴/۳۶	۱۶/۵۶
۱۶	۱۳۴۷-۴	سیرج	۲۳/۸۲	۰/۵۵	۰/۴۵	۰/۵۵	۲۳/۳	۱/۲۷
۱۷	۱۴۲۵	سیرج	۴۰/۱۱	۰/۳۵	۰/۶۵	۰/۳۵	۴۰/۹۶	۰/۲۶
۱۸	۱۸۷۲-۸	گلباف	۵۱/۵۵	۰/۴۰	۰/۶	۰/۴۰	-	-
۱۹	۱۸۷۴-۷	گلباف	۵۰/۷۲	۰/۴۳	۰/۵۷	۰/۴۳	۱/۴۳	۰/۰۶
۲۰	۱۸۷۴-۹	گلباف	۲۹/۶	۰/۳۹	۰/۶۱	۰/۳۹	۲۹/۹۸	۰/۰۳
۲۱	۲۱۵۶-۱	گلباف	۳۵/۸۹	۰/۴۳	۰/۵۷	۰/۴۳	۳۶/۷۲	-
۲۲	۲۱۵۶-۲	گلباف	۶۰/۴۹	۰/۲۸	۰/۷۲	۰/۲۸	-	-
۲۳	۲۵۰۳-۲	گلباف	۶۴/۹۱	۰/۳۷	۰/۶۳	۰/۳۷	۱/۳۷	-

آسیب دیدگی سازه‌ها در این منطقه به دلیل جذب انرژی بیشتر توسط سازه‌ها در واحد زمان، نسبت به سایر زلزله‌های مورد بررسی بیشتر بوده است.

پارامترهای میرایی و فرکانس غالب زمین ( $\xi_g, \omega_g$ ) و نیز پارامتر ( $G_0$ ) پارامترهای مدل کانایی-تاجیمی هستند، که بررسی و مقایسه‌ی مقادیر هر یک از آن‌ها با هم نتایجی را در بر خواهد داشت که کاربرد خاص خود را داشته و نیاز به تئوری، بحث و بررسی بیشتر دارد.

#### ۵- نتیجه‌گیری

بر اساس نتایج ارائه شده در جدول ۳ و با استفاده از فرمول‌های

maximum response of a building structure during an earthquake", *Proc. World Conf. Earthquake Eng., Japan*: 781-797.

جذب حداکثر میزان انرژی در زلزله‌های گلباف و سیرج با استفاده از طیف توان و مدل کانایی-تاجیمی دانشگاه آزاد اسلامی واحد بردسیر بوده و با حمایت مالی این واحد دانشگاهی انجام شده است. بنابراین لازم می‌دانم از همکاری و مساعدت کلیه‌ی افرادی که بنده را در تهیه و تدوین این طرح تحقیقاتی یاری کرده‌اند، تشکر و قدردانی نمایم.

## مراجع

بربریان، م.، ۱۳۵۶، پژوهش و بررسی لرزه-زمین ساخت (سایزموکتونیک) ایران، وزارت صنایع و معادن، سازمان تحقیقات زمین شناسی و اکتشافات معدنی کشور، گزارش شماره‌ی ۲۱۰: ۴-۲۰۴.

برگی، خ.، ۱۳۷۶، بررسی طیف توان در مهندسی زلزله و تهیه‌ی طیف توان زلزله‌های ایران، فصلنامه‌ی انجمن مهندسين ایران (اساس)، تک شماره: ۳۲-۴۳.

برگی، خ.، ۱۳۷۷، توابع چگالی طیفی توان، طرح و کاربرد آن‌ها در مهندسی زلزله، فصلنامه‌ی انجمن مهندسی ایران (اساس)، ۱۰-۲۰.

خسروی، م.، ر.، ۱۳۸۳، بررسی روش‌های ایجاد شتاب‌نگاشت‌های مصنوعی جهت تحلیل تاریخچه‌ی زمانی و ارائه‌ی شتاب‌نگاشت مصنوعی برای ناحیه‌ی ایران مرکزی، پایان‌نامه‌ی کارشناسی ارشد، دانشگاه بین‌المللی امام خمینی، دانشکده‌ی فنی، گروه مهندسی عمران، ۲۱۶ص.

رمضی، ح.، ر.، ۱۳۷۶، داده‌های پایه‌ی شتاب‌نگاشت‌های شبکه‌ی شتاب‌نگاری کشور، انتشارات مرکز تحقیقات ساختمان و مسکن، ۱۱۸ص.

عادلی، ح.، ۱۳۷۵، مهندسی زلزله، انتشارات کتابفروشی دهخدا، چاپ ششم: ۴۵-۳۶.

محرز، ب.، القادسی، ف.، ۱۳۷۹، زلزله و طیف‌های پاسخ: فصل دوم، هندبوک طراحی لرزه‌ای، مترجم: اوشک سرایی، انتشارات مرکز نشر دانشگاهی: ۷۰-۱۷۰.

مهندسین مشاور تهران پادیر، ۱۳۷۶، تقسیم‌بندی پهنه‌های لرزه‌ی زمین‌ساختی و برآورد پارامترهای خطر زمین‌لرزه، گزارش پهنه‌بندی خطر لرزه‌ای ایران برای کاربرد در آیین‌نامه‌ی زلزله (۲۸۰۰): ۱۲۶-۱۴۳.

**Barstein, M. F., 1960, "Application of probability methods for designing the effects of seismic forces on engineering structures", *Proc. Second World Conf. Earthquake Eng., Japan*: 1467-1482.**

**Bolotin, V. V., 1960, "Statistical theory of a seismic design of structures", *Proc. Second World Conf. Earthquake Eng., Japan*: 1365-1374.**

**Chopra, A. K., 1995, "Dynamics of structures, theory and applications to earthquake engineering", *Prentice-Hall International*, 729p.**

**Elghadamsi, F. E., Mohraz, B., Lee, C. T. & Moayyad, P., 1988, "Time-dependent power spectral density of earthquake ground motion", *Int. J. Soil Dynamics and Earthquake Eng., Vol. 7(1)*: 15-21.**

**Iyengar, R. N. & Iyengar, K. T. S., 1969, "A nonstationary random process model for earthquake accelerograms", *Bull. Seism. Soc. Am., Vol. 59*: 1163-1188.**

**Pulgrano & Ablowitz 1969, In: Lai, S. P., 1982, "Statistical characterization of strong motion using power spectral density function", *Bull. Seism. Soc. Am., Vol. 72*: 259-274.**

**Tajimi, H., 1960, "A statistical method of determining the**